

Fig. 1A

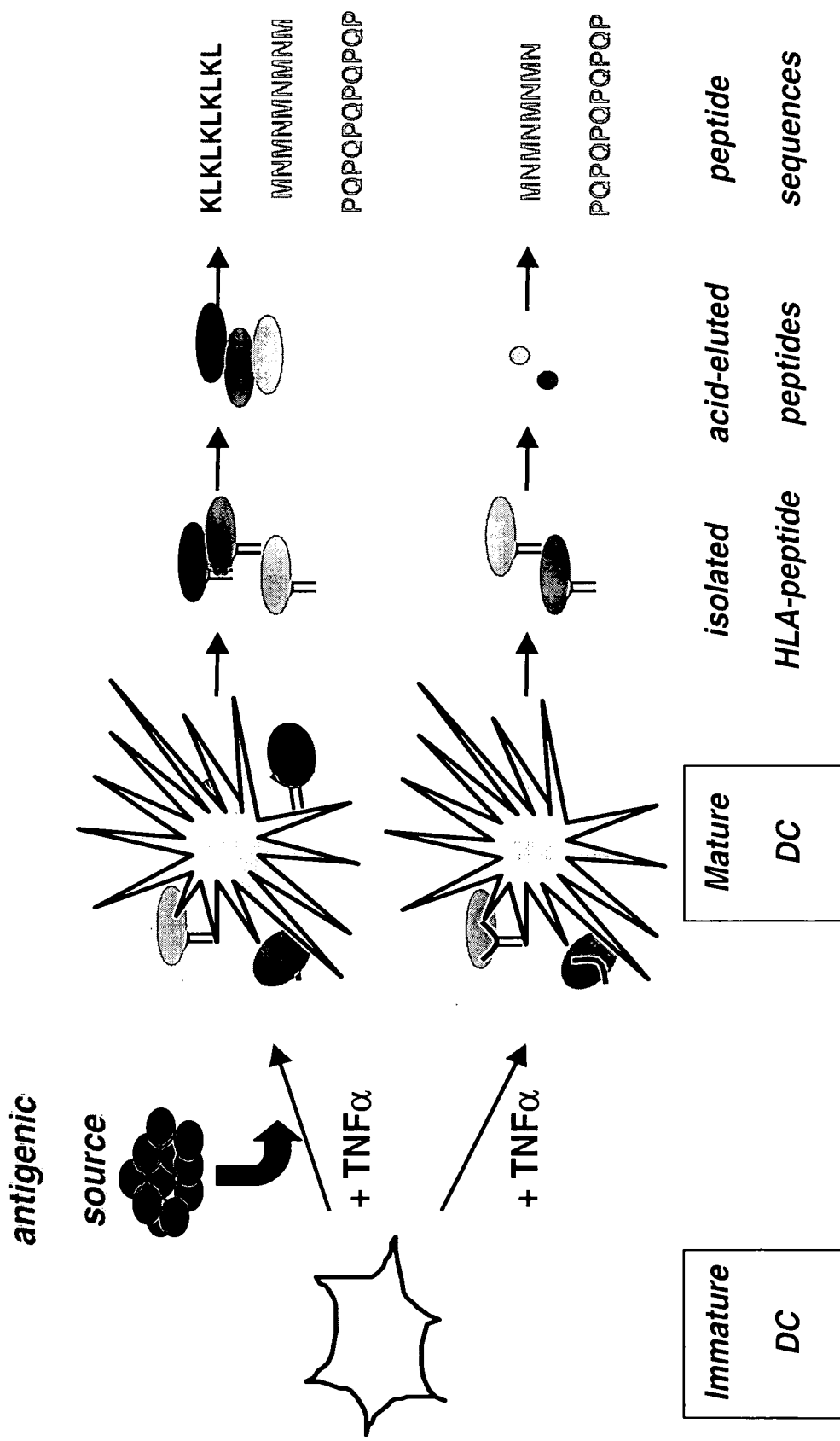


Fig. 1B

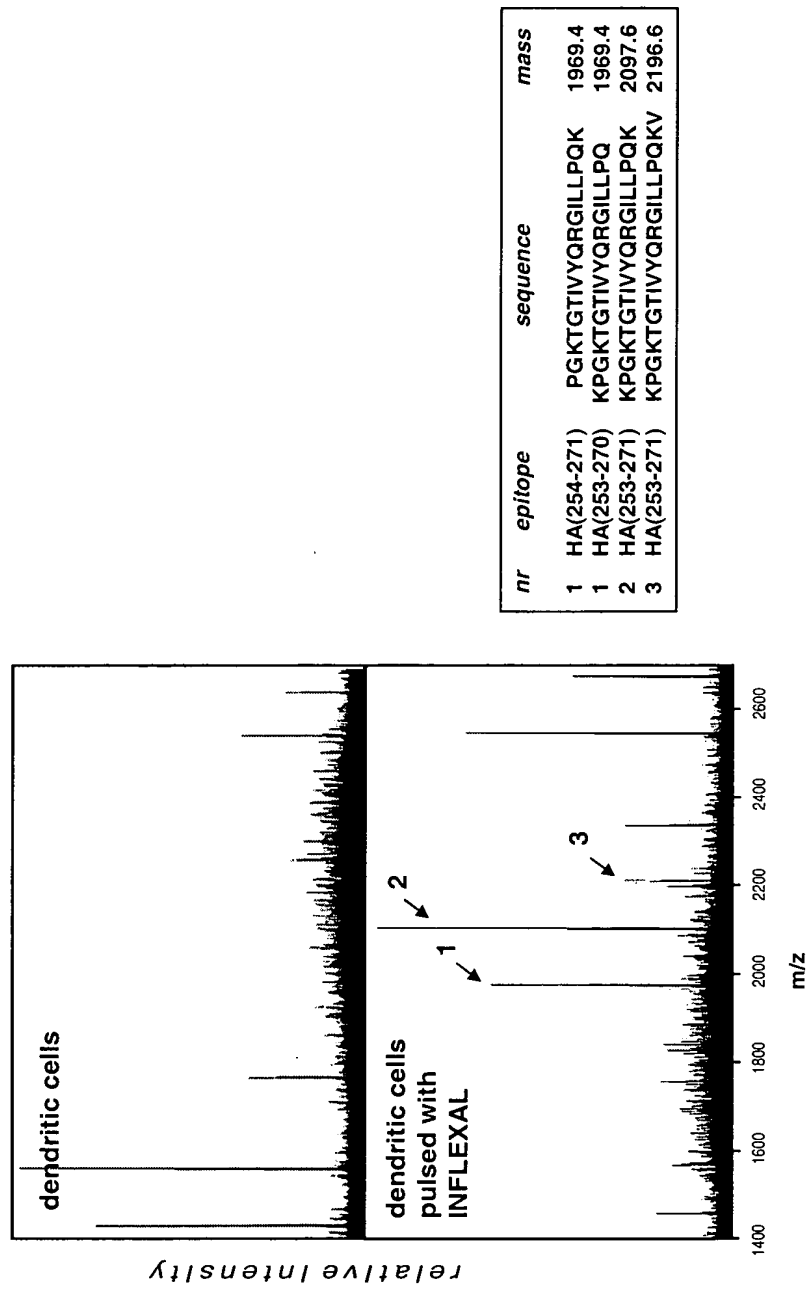


Fig. 2A

Influenza hemagglutinin (HA)
strain B/Yamanashi/166/98

10	20	30	40	50
DRICGTGITSS	NSPHVVVKTAT	QGEVNVTGV ^I	PLTTTPTTKSH	FANLKGTKTR
60	70	80	90	100
GKLCPTCLNC	TDLDVALGRP	MCVGVTPSAK	ASILHEVRPV	TSGCFPIMHD
110	120	130	140	150
RTKIRQLPNL	LRGYEKIRLS	TQNVINAEKA	PGGPYRLGTS	GSCPNAATSRS
160	170	180	190	200
GFFATMAMAV	PRDNNKTTATN	PLTVEVPHIC	TKEEDQITVW	GFRSDNKTQM
210	220	230	240	250
KNLYGDSNPQ	KFTSSANGVT	THYVSQIGGF	PDQTEDGGLP	QSGRIVVDYM
260	270	280	290	300
VQKPGKTGTI	VYQRGILLPQ	KVWCASGRSK	VIKGSLPLIG	EADCLHEKYG
310	320	330	340	346
GLNKSCKPYYT	GEHAKAIGNC	PIWVKTPLKL	ANGTKYRPPA	KLLKER

Fig. 2B

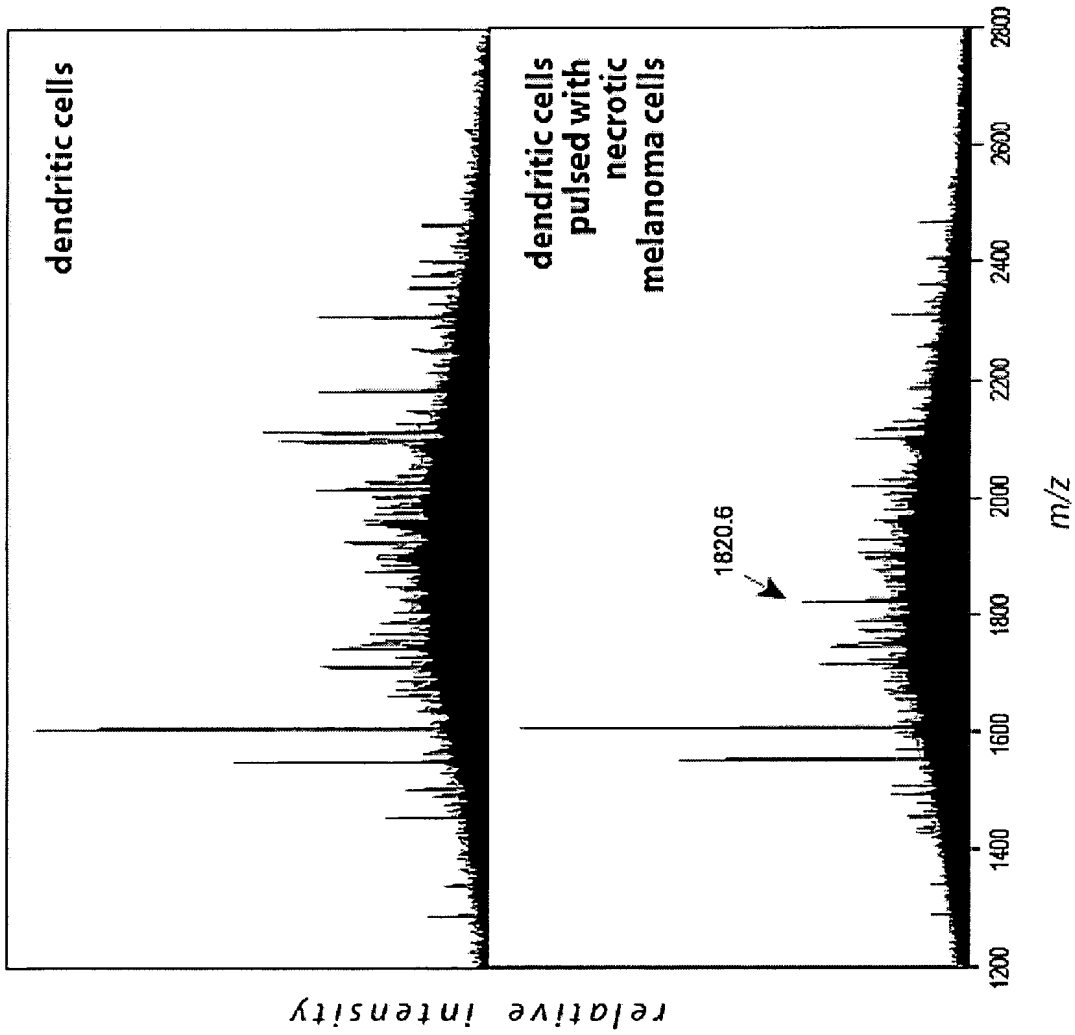


Fig. 3A

MALDI-PSD Fragmentation Spectrum

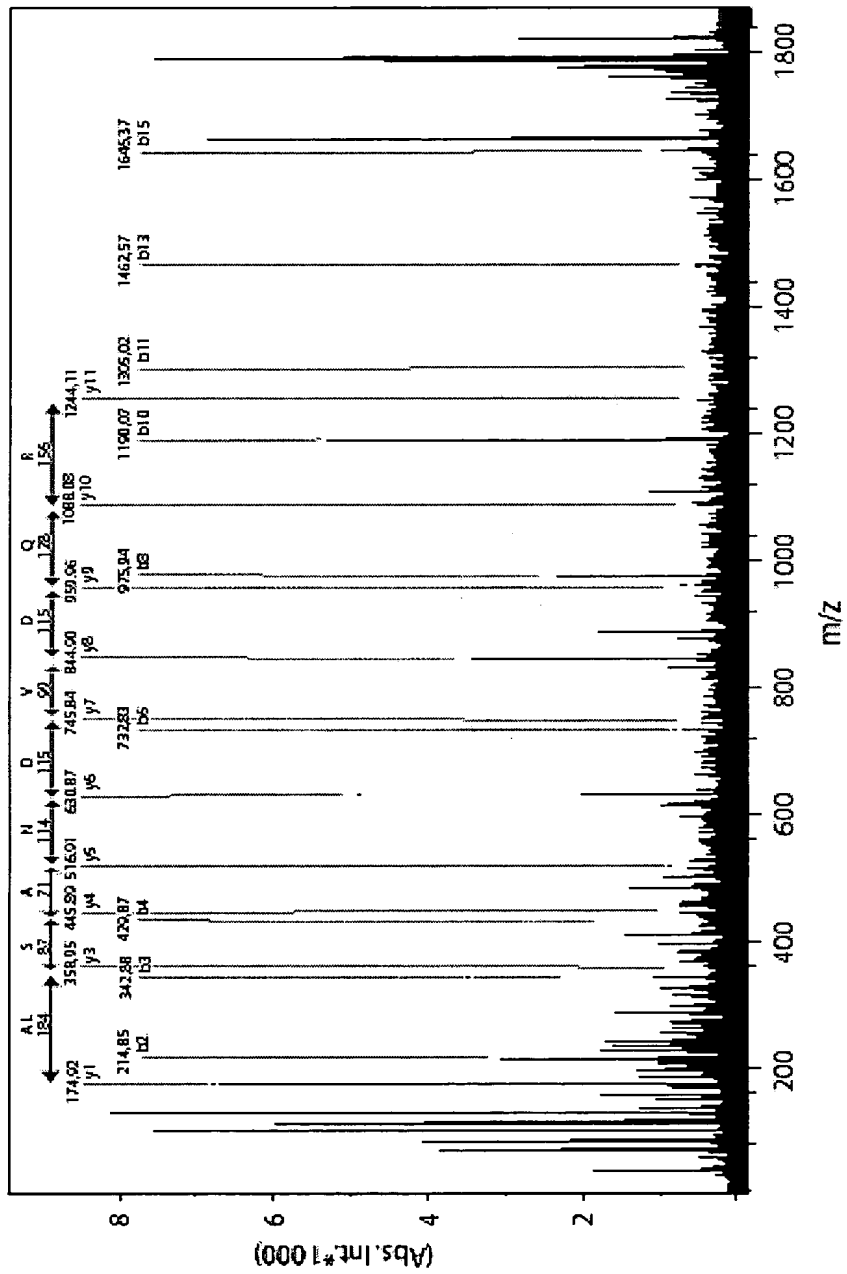


Fig. 3B

ION-TRAP MS-MS Spectrum

